

# بررسی اثر اصلاح ساختاری فوم پلی یورتان با کربن فعال بر جذب آلاینده‌های نفتی از آب

امیر احمد نیکخواه<sup>۱</sup>، حمید زیلوبی<sup>۲</sup>، علیرضا کشاورز<sup>۱</sup>

۱- دانشجوی کارشناسی ارشد، دانشکده مهندسی شیمی، دانشگاه صنعتی اصفهان  
 ۲- دانشیار بیوتکنولوژی محیط زیست، دانشکده مهندسی شیمی، دانشگاه صنعتی اصفهان  
 (نویسنده مسئول) (۰۳۱) ۳۳۹۱۵۶۳۲ (۰۳۱) ۳۳۹۱۵۶۳۲  
 hzilouei@cc.iut.ac.ir

(دریافت ۹۳/۳/۸ پذیرش ۹۳/۱۰/۲۴)

## چکیده

هدف از این پژوهش بررسی میزان جذب آلاینده‌های نفتی توسط فوم پلی یورتان و بررسی اثر اصلاح ساختاری آن با کربن فعال به صورت کامپوزیت بر درصد جذب و راندمان جذب آلاینده‌های نفتی بود. برای این کار ابتدا جاذب‌های خالص و کامپوزیت سنتر شدند و برای حذف نفت خام از محلول‌های با غلظت‌های مختلف ۲۰ تا ۲۸۰ گرم در لیتر از نفت خام استفاده شد. نتایج آزمایش‌ها نشان داد که بهترین درصد وزنی کربن فعال در ساختار فوم پلی یورتان ۵ درصد است که موجب افزایش درصد جذب تا ۲۱ درصد شده است. حضور کربن فعال در ساختار فوم‌ها باعث افزایش شدید آب‌گردی جاذب‌های کامپوزیت شد و راندمان جذب را در جاذب کامپوزیت با ۵ درصد کربن فعال تا ۷۳ درصد در غلظت اولیه ۲۰ گرم در لیتر از نفت خام افزایش داد. مطالعات تعادلی جذب نشان داد که برای تمامی جاذب‌ها، مدل‌های ردیج-پترسون و لانگمیر، داده‌های ایزووترم را بهتر توصیف می‌کنند. بهمنظر احیای جاذب‌ها از روشن احیای شیمیابی با حالات نفتی تولوئن و پترولیوم اتر استفاده شد که موجب افزایش راندمان و درصد جذب جاذب‌های فوم خالص و کامپوزیت شد.

**واژه‌های کلیدی:** آلاینده‌های نفتی، جذب، فوم پلی یورتان، کربن فعال، کامپوزیت

آلاینده‌های نفتی را می‌توان به سه دسته، روش‌های شیمیابی، روش‌های زیست محیطی و روش‌های فیزیکی دسته‌بندی کرد که هر کدام مزايا و محدودیت‌هایی دارند: برای مثال زمان بر بودن روش بیولوژیکی مهم‌ترین محدودیت این روش است<sup>[۴]</sup>. روش‌های حذف فیزیکی در صنایع کاربردی تر هستند که شامل روش‌های غشایی، جداکننده‌های گرانشی، تجهیزات شناورسازی گاز و جذب با انواع جاذب‌ها است<sup>[۵-۱۰]</sup>. در میان فرایندهایی که برای حذف آلاینده‌های نفتی به کار گرفته شده است، جذب به علت راندمان مناسب مورد توجه بیشتری قرار گرفته است<sup>[۱۱]</sup>. امروزه استفاده از مواد جاذب یکی از روش‌های مقرر برای حذف آلاینده‌های نفتی از محیط‌های آبی است<sup>[۱۲]</sup>.

مواد جاذب آلاینده‌های نفتی به سه دسته کلی جاذب‌های آلی طبیعی (گیاهی)، جاذب‌های معدنی و جاذب‌های آلی سنتزی تقسیم می‌شوند<sup>[۱۳]</sup>. از جاذب‌های آلی گیاهی، می‌توان باگاس نیشکر، کاه، چوب ذرت، پوسته بادام زمینی، فیبر چوب و تورب ساخته شده از خزه‌ی پوسیده را نام برد<sup>[۱۱، ۱۴ و ۱۵]</sup>. مواد معدنی مورد

**۱- مقدمه**  
 آلدگی محیط زیست، از مهم‌ترین مشکلاتی است که امروزه جهان با آن مواجه است. اگر کنترلی بر روند رشد تصاعدی این پدیده انجام نگیرد، فاجعه محیط زیستی رخ خواهد داد. یکی از پر چالش‌ترین مشکلات محیط زیستی، جداسازی نفت و دیگر محظیات آلى از پساب‌های صنعتی است. برای کنترل و یا حذف آلدگی، باید منشاء تشکیل‌دهنده آلدگی شناسایی و راهکارهای لازم برای رفع آن بررسی شود<sup>[۱]</sup>. منابع صنعتی اصلی دوربریزهای نفتی شامل پالایشگاه‌های نفت و واحدهای پتروشیمی، مجتمع فولاد و ذوب آهن، تعمیرگاه‌ها و دیگر واحدهای تولیدی است. منابع شهری اصلی نفت که حاوی تا حداقل ۳۶ درصد مواد نفتی است، از روغن‌های گیاهی و حیوانی در آشپزخانه‌ها و فاضلاب‌های انسانی حاصل می‌شود<sup>[۲]</sup>.

گسترش فناوری‌های جدید برای حذف و پاکسازی آلدگی‌های نفتی ضروری است<sup>[۳]</sup>. روش‌های مختلفی برای پاکسازی آلدگی‌های نفتی و مشتقات آن وجود دارد. روش‌های حذف

## ۲- مواد و روش‌ها

### ۱-۲- مواد

پلی‌آل‌پلی‌استری<sup>۱۲</sup> با نام تجاری K-FLEX 4405 محصول شرکت کبودان شیمی رزین، دی‌ایزو‌سیانات<sup>۱۳</sup> و دی‌فینیل متان دی‌ایزو‌سیانات پلیمری با نام تجاری Isocyanate300 خریداری شده از شرکت کبودان شیمی رزین، نرمال پنتان<sup>۱۴</sup> و کربن فعال ۱۰۰-۱۳۰ میکرومتر خریداری شده از شرکت مرک آلمان. آب بدون یون، نفت خام سبک و روودی پالایشگاه اصفهان، تولوئن و زایلن مخلوط محصول پتروشیمی اصفهان و پترولیوم اتر<sup>۱۵</sup> محدوده نقطه جوش ۳۰ تا ۶۰ درجه سلسیوس خریداری شده از شرکت پارس شیمی در این پژوهش مورد بررسی قرار گرفت.

### ۲- سنتز فوم پلی‌یورتان

در این پژوهش از آب بدون یون به عنوان عامل فوم‌زای شیمیایی و نرمال پنتان به عنوان عامل فوم‌زای فیزیکی استفاده شد. برای سنتز فوم پلی‌یورتان، ابتدا پلی‌آل با آب بدون یون به میزان ۱ درصد جرمی و نرمال پنتان به میزان ۱۰ درصد جرمی به وسیله همزن مکانیکی مخلوط شد و محلول همگنی به دست آمد. عوامل فوم‌زای فیزیکی به‌دلیل فرار بودن باید در دمای پایین نگهداری شوند. همچنین به‌منظور جلوگیری از اتلاف مواد، اختلاط نباید با دور زیاد همزن شروع شود و زمان اختلاط نیز نباید زیاد شود. پس از حصول یک مخلوط همگن از پلی‌آل و عوامل فوم‌زا، ایزو‌سیانات<sup>۱۶</sup> به میزان ۳۸ درصد جرمی به مخلوط حاصل اضافه شد و به مدت ۱۰ ثانیه به‌وسیله همزن مکانیکی با دور ۱۰۰۰ rpm زده شد، سپس همزن شیشه‌ای از مخلوط خارج و ظرف به مدت ۲۰ دقیقه زیر هود قرار گرفت تا واکنش کامل شده و فوم پلی‌یورتان تولید شود.

### ۳- تهیه جاذب کامپوزیت

در جاذب کامپوزیت از کربن فعال در ساختار فوم پلی‌یورتان استفاده شده است تا از میزان آب دوستی ساختار فوم پلی‌یورتان کاسته شود و ساختار آن را نفت‌دوست کند. روش سنتز جاذب فوم پلی‌یورتان همراه با کربن فعال یا کامپوزیت پلیمری تقریباً مشابه با روش سنتز فوم پلی‌یورتان است، با این تفاوت که با توجه به روش

استفاده در جذب آلاینده‌های نفتی شامل آئروژل<sup>۱</sup> [۲۲]، پرلیت<sup>۲</sup>، گرافیت ورقه ورقه، ورمیکولیت<sup>۳</sup>، خاک‌های معدنی، زئولیت<sup>۴</sup> و کربن فعال<sup>۵</sup> است [۲۳، ۱۶، ۱۷ و ۱۹]. پلی‌پروپیلن<sup>۶</sup> و پلی‌یورتان<sup>۷</sup> متدائل‌ترین مواد سنتزی آلی در حذف آلودگی‌های نفتی به شمار می‌روند [۲۰ و ۲۱].

جادب‌های آلی طبیعی معمولاً به همراه نفت مقدار زیادی آب نیز جذب می‌کنند و این در حالی است که به طور کلی میزان جذب نفت آن‌ها زیاد نیست، به‌همین دلیل جاذب‌های آلی طبیعی اصلاح می‌شوند تا از میزان جذب آب آن‌ها کاسته شود و همچنین بر شناوری آن‌ها بر روی سطح آب افزوده شود [۱۲ و ۲۲]. جاذب‌های معدنی توانایی جذب پایینی دارند و همچنین به علت ساختار پودری، قابلیت بازیافت و استفاده مجدد کمی دارند. در سال‌های اخیر به جاذب‌های سنتزی آلی مانند پلی‌پروپیلن و پلی‌یورتان توجه بیشتری شده است. فوم پلی‌یورتان به علت داشتن ساختار متخلخل، با در اختیار قرار دادن سطح تماس زیاد توانایی جذب چند برابر وزن خود را دارد [۲۳]: ولی با توجه به خاصیت آب‌دوستی ذاتی پلی‌یورتان، نیاز به اصلاحات سطحی و ساختاری وجود دارد. تاکنون از مونومرهای آب‌گیریزی مانند LMA<sup>۸</sup> برای اصلاح سطحی فوم پلی‌یورتان استفاده شده است [۲۰].

یکی از موادی که برای اصلاح ساختاری فوم پلی‌یورتان مورد استفاده قرار می‌گیرد، کربن فعال است. حضور کربن فعال در ساختار فوم پلی‌یورتان می‌تواند علاوه بر افزایش استحکام آن، به علت آب‌گیریزی باعث کاهش جذب آب جاذب اصلاح شده (جادب کامپوزیت) شود.

این پژوهش با هدف بررسی تأثیر حضور کربن فعال در ساختار فوم پلی‌یورتان، بر درصد و راندمان جذب آلاینده‌های نفتی از آب و تعیین مقدار بهینه کربن فعال در ساختار جاذب کامپوزیت انجام شد. همچنین احیای شیمیایی جاذب‌های فوم خالص و کامپوزیت به‌منظور بررسی استفاده مجدد انجام شد و ایزوترم‌های لانگمیر<sup>۹</sup>، فروندلیچ<sup>۱۰</sup> و ردلیچ-پترسون<sup>۱۱</sup> برای این جاذب‌ها مورد مطالعه قرار گرفت.

<sup>1</sup> Aerogel

<sup>2</sup> Perlite

<sup>3</sup> Vermiculite

<sup>4</sup> Zeolite

<sup>5</sup> Activated Carbon

<sup>6</sup> Polypropylene

<sup>7</sup> Polyurethane

<sup>8</sup> Lauryl Methacrylate (LMA)

<sup>9</sup> Langmuir Isotherm

<sup>10</sup> Freundlich Isotherm

<sup>11</sup> Redlich-Peterson Isotherm

<sup>12</sup> Polyester Polyol

<sup>13</sup> N-pentane

<sup>14</sup> Petroleum ether

<sup>15</sup> Isocyanate300

و  $S_0$  جرم جاذب خشک اولیه بر حسب گرم است.  
درصد جذب نفت جاذب، نسبت میزان نفت جذب شده به کل نفت موجود در فرایند جذب است و از رابطه زیر محاسبه می‌شود

$$P_a = \frac{O_a}{O_t} \times 100 \quad (2)$$

که در این رابطه  
درصد جذب نفت،  $O_a$  مقدار نفت جذب شده و  $O_t$  مقدار نفت در دسترس جاذب بر حسب گرم است.  
راندمان بازیافت نفت جاذب، نسبت میزان نفت جذب شده به کل مواد جذب شده است که از رابطه زیر محاسبه می‌شود

$$R = \frac{M_0}{M_t} \quad (3)$$

که در این رابطه  
R راندمان بازیافت نفت جاذب،  $M_0$  وزن نفت جذب شده بر حسب گرم و  $M_t$  وزن کل مواد جذب شده بر حسب گرم است. تمامی آزمایش‌های جذب در این پژوهش در دمای محیط ( $20 \pm 3^\circ\text{C}$ ) و با دو بار تکرار انجام شد و نتایج به صورت میانگین حسابی ذکر شد. در صورت انحراف بیش از ۱۵ درصد از مقدار میانگین هر دو آزمایش تکرار شدند.

## ۵-۱- احیای جاذب‌ها

احیای جاذب‌ها را روش احیای شیمیایی و با استفاده از حلال‌های نفتی تولوئن و پترولیوم اتر انجام شد. برای احیای جاذب‌ها، ابتدا دانه‌های جاذب که قبلاً استفاده شده بود با ۱۵۰ میلی‌لیتر تولوئن در یک بشر ۲۵۰ میلی‌لیتر ریخته شد و با یک همنز کاملاً هم‌زده شد. سپس دانه‌های جاذب جدا و چندین مرتبه با پترولیوم اتر شسته شد. دانه‌های جاذب به مدت ۱ ساعت در خشک‌کن با دمای ۶۵ درجه سلسیوس خشک شدند [۲۵].

## ۶- آزمایش‌های ایزوترم

ایزوترم‌های جذب با داده‌های تعادلی و خواص جذبی به توصیف چگونگی واکنش آلاندنه‌ها با مواد جاذب پرداخته و در بهینه‌سازی مصرف جاذب، نقش اساسی ایفا می‌کنند [۲۶]. آزمایش‌های ایزوترم برای تعیین حداقل ظرفیت جذب و انتخاب بهترین مدل تعادلی برای جاذب‌های فوم خالص پلی بورتان و کامپوزیت انجام گرفت. نتایج آزمایش‌ها با مدل‌های دو پارامتری لانگمیر و فروندلیچ و مدل سه پارامتری ردیلیچ-پترسون بررسی شد (جدول ۱)

سنتز دو ماده‌ای این جاذب‌ها، کربن فعال باید قبل از واکنش پلی‌ال با ایزوپیتانات با پلی‌ال مخلوط شود تا مخلوط همگنی حاصل شود. برای این کار با توجه به میزان درصد کربن فعال مورد نیاز، کربن فعال با پلی‌ال بهوسیله همزن مکانیکی با دور  $1000\text{ rpm}$  به مدت دو ساعت هم زده شد و سپس عوامل فوم‌زا و ایزوپیتانات ۳۰۰ بر طبق روش و درصد های وزنی ذکر شده در سنتز فوم پلی بورتان به آن اضافه شد. زمان اتمام واکنش پلیمره شدن و کامل شدن سنتز جاذب کامپوزیت یک ساعت بود. در این تحقیق از مقادیر ۴، ۳، ۲، ۵ و ۶ درصد جرمی کربن فعال برای اصلاح ساختاری فوم پلی بورتان برای جذب نفت استفاده شد. با توجه به تأثیر کربن فعال بر ساختار سلولی فوم پلی بورتان، به منظور بررسی تأثیر حضور کربن فعال در ساختار این فوم بر روی پارامترهای جذب، از فوم پلی بورتان با ساختار سلولی نیمه بسته استفاده شد تا تأثیر کربن فعال بر روی سطح ویژه جاذب‌ها کمتر باشد [۲۶].

## ۴-۲- اندازه‌گیری ظرفیت جذب

بررسی عملکرد جذب جاذب‌ها با اندازه‌گیری ظرفیت جذب نفت و آب جاذب، بر پایه روش استاندارد ASTM F726-99 در آزمایش جذب سیستم آب-نفت، مقدار مشخصی از نفت خام در داخل بشر ۶۰۰ میلی‌لیتر حاوی ۲۵۰ میلی‌لیتر آب بدون یون ریخته شد. ضخامت لایه نفتی ۲ تا ۱۰ میلی‌متر بود. ابتدا ۱ گرم از جاذب به دقت وزن و به داخل بشر ریخته شد و بشر به مدت ۵ دقیقه بر روی شیکر با دور  $100\text{ rpm}$  قرار داده شد. بعد از گذشت دو دقیقه از توقف کامل شیکر، دانه‌های جاذب از ظرف خارج شدند و به مدت دو دقیقه آویزان شدند. در پایان دانه‌های جاذب در یک ظرف شیشه‌ای وزن شدند. در ادامه بر طبق استاندارد ASTM D4006، دانه‌های جاذب با ۴۰۰ میلی‌لیتر زایلن مخلوط کاملاً شسته شدند تا تمامی محتويات جاذب از آن خارج شود. سپس با انجام عملیات تقطیر بر طبق استاندارد، حجم آب جذب شده به دست آمد و با توجه به چگالی آب بدون یون برابر ۱ گرم در میلی‌لیتر، جرم آب برابر با حجم آن در نظر گرفته شد. در پایان میزان نفت جذب شده به ازای یک گرم جاذب با استفاده از رابطه زیر محاسبه شد

$$S = \frac{S_s - S_w - S_0}{S_0} \quad (1)$$

که در این رابطه

$S$  قابلیت جذب نفت جاذب بر حسب گرم بر گرم،  $S_s$  جرم جاذب اشباع (آب + نفت + جاذب)،  $S_w$  جرم آب جذب شده توسط جاذب

از  $A > 1$  و  $B < \beta$ ، این معادله شبیه معادله فروندلیچ خواهد شد که در آن نسبت  $\frac{A}{B}$  و  $(1-\beta)$  به ترتیب در ارتباط با  $K_F$  و  $n$  در معادله فروندلیچ خواهد بود. در شرایطی که  $\beta = 1$  باشد، معادله ردلیچ-پترسون به معادله لانگمیر شباهت خواهد داشت. در این حالت نسبت  $\frac{A}{B}$  از نظر عددی مساوی ظرفیت جذب تک لایه‌ای  $q_0$  و مساوی ثابت تعادلی جذب خواهد شد [۳۰ و ۳۱].

## ۷-۲- مشخصه‌یابی جاذب‌ها

برای شناسایی جاذب‌ها از آزمون‌های FTIR برای بررسی تولید فوم پلی یورتان، و میکروسکوب نوری برای مشاهده میزان پراکندگی کربن فعال در ساختار فوم پلی یورتان استفاده شد. تمامی جاذب‌های فوم خالص و کامپوزیت برای انجام آزمون‌های جذب به صورت مکعب در ابعاد  $1 \times 1 \times 1$  سانتی‌متر بریده شدند.

## ۳- نتایج و بحث

### ۱-۳- نتایج طیف سنجی FTIR فوم پلی یورتان

طیف مادون قرمز مربوط به فوم خالص پلی یورتان در شکل ۱ آمده است. اولین پیک‌های مرتبط با جاذب‌های فوم خالص در حدود طول موج  $3340\text{ cm}^{-1}$  است. این پیک‌ها متناظر با ارتعاشات مرتبط با گروه عاملی هیدروکسیل (OH) است که می‌توانند ناشی از گروه هیدروکسیل موجود در ساختار پلی‌ال باشد که در طی واکنش پلی‌ال با ایزوسیانات وارد واکنش نشده است. پیک‌های موجود در طول موج‌های در حدود  $2950\text{ cm}^{-1}$ ، مربوط به ارتعاشات گروه‌های عاملی ( $-\text{CH}_2-$ ) و ( $-\text{CH}_2-\text{C}(=\text{O})-$ ) در زنجیره‌های کربنی است. پیک بسیار قوی در طول موج  $1730\text{ cm}^{-1}$  مربوط به گروه یورتان و گروه کربونیل ( $-\text{C}(=\text{O})-$ ) است که در اثر واکنش پلی‌ال با ایزوسیانات تشکیل شده و در ساختار یورتانی فوم پلی یورتان قرار دارد. در جدول ۲ تمامی دامنه‌های پیک‌های مربوط به ساختار پلی یورتان

جدول ۲- دامنه‌های طیف مادون قرمز مربوط به ارتعاشات گروه‌های عاملی موجود در ساختار پلی یورتان

گروه عاملی مربوطه (cm <sup>-1</sup> )	دامنه طول موج (cm <sup>-1</sup> )
C-O	۱۱۵۰-۱۰۷۰
C-N	۱۳۵۰-۱۰۰۰
N-H	۳۵۰۰-۳۳۰۰
MDI (C=C) موجود در حلقه آروماتیک	۱۶۰۰
C-H	۳۰۰۰-۲۸۵۰
(الکل)-O-H	۳۴۰۰-۳۲۰۰
(C=O) استر	۱۷۳۵-۱۷۲۰
چینش پارا بروی حلق آروماتیک	۸۴۰-۷۹۰

جدول ۱- پارامترهای اصلی مدل‌های تعادلی جذب استفاده شده [۲۷]

مدل‌های ایزوترم	معادله	پارامترها
لانگمیر	$q_e = q_{max} \frac{K_F C_2}{1 + K_F C_2}$	$K_F(\text{L/g})$ $q_{max}(\text{g/g})$
فروندلیچ	$Q_e = K_F C_e^{1/n}$	$N K_F (g_0/g_a)/(g_0/L)^n$
ردلیچ-پترسون	$q_e = \frac{AC_2}{1 + gC_2^\beta}$	$A (\text{L/g})$ $B (\text{L/g})^\beta$ $\beta$

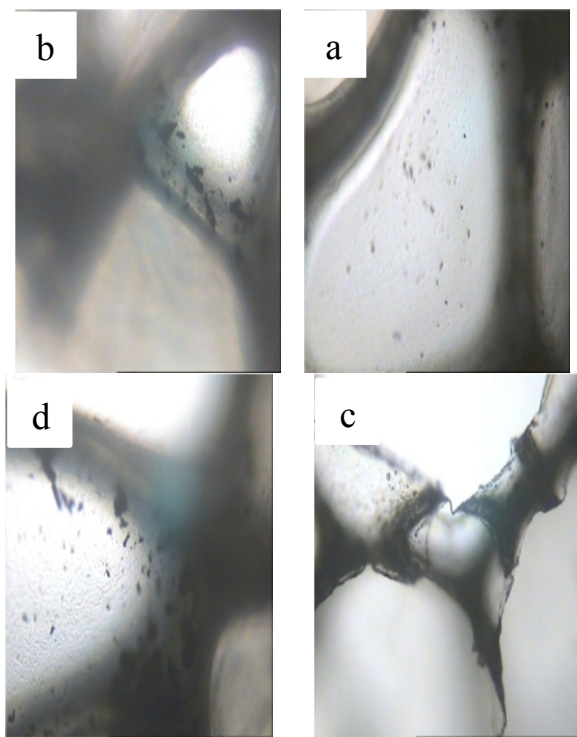
در مدل‌های ایزوترم،  $q_e$  مقدار ماده جذب شونده در واحد وزن جاذب در حالت تعادل بر حسب گرم در گرم و  $C_e$  غلظت تعادلی روغن در محلول فاز مایع بعد از جذب بر حسب گرم در لیتر است. مطلوبیت ایزوترم لانگمیر به کمک یک ثابت بدون واحد به نام فاکتور جداسازی یا پارامتر تعادلی نشان داده می‌شود که معادله آن در زیر آمده است

$$R_L = \frac{1}{1 + bC_0} \quad (4)$$

که در این رابطه  $b$  ثابت لانگمیر و نشان دهنده مناسب بودن جاذب برای جذب شونده است؛ به گونه‌ای که مقدار بالاتر  $b$  نشان دهنده ظرفیت جذب بیشتر در غلظت‌های پایین است.  $C_0$  غلظت اولیه جذب شونده در محلول را نشان می‌دهد.  $R_L$  نوع ایزوترم را نشان می‌دهد و در یک بیان دقیق‌تر می‌توان گفت مقدار  $R_L$  نشان دهنده ماهیت جذب است؛  $R_L > 1$  ناکارآمدی و برگشت ناپذیری، مناسب بودن در حالت خطی و مناسب و مطلوب بودن مدل لانگمیر است [۲۸].

در ایزوترم فروندلیچ زمانی که  $K_F$  افزایش می‌یابد، ظرفیت جاذب برای جذب ماده جذب شونده مورد نظر بیشتر می‌شود. همچنین  $n$  نشان دهنده مطلوبیت جذب است. به طور کلی اگر  $d$  در محدوده‌ای بین ۲ تا ۱۰،  $R_L = 1$  باشد به ترتیب نشان دهنده جذب خوب، متوسط و جذب بسیار ضعیف است؛ برخی از منابع هم محدوده ۱ تا ۱۰ را برای مقدار  $n$  نشان دهنده جذب خوب می‌دانند [۲۹].

از میان مدل‌های ایزوترم سه پارامتری مدل ردلیچ-پترسون اغلب برای جذب فاز مایع فلزات سنگین و ترکیبات آلی به کار گرفته می‌شود. این مدل ویژگی‌های هر دو مدل لانگمیر و فروندلیچ را پوشش و در قالب یک معادله ارائه می‌دهد. در صورتی که پوشش سطحی خیلی کم و برابر صفر ( $\beta = 0$ ) باشد، این معادله خطی شده و به قانون هنری تبدیل می‌شود. برای پوشش سطحی زیاد به

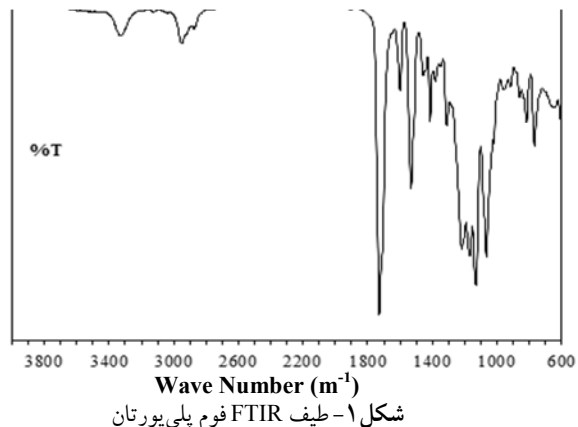


شکل ۲- عکس های میکروسکوپ نوری با بزرگنمایی  $100\times$ ، جاذب کامپوزیت با ۲ درصد کربن فعال (a)، کامپوزیت با ۳ درصد کربن فعال (b)، کامپوزیت با ۵ درصد کربن فعال (c)، کامپوزیت با ۶ درصد کربن فعال (d)

کامپوزیت موجب افزایش درصد جذب شده اند که به علت نفت دوست تر شدن ساختار جاذب های کامپوزیت نسبت به جاذب های فوم خالص به علت حضور کربن فعال در ساختار شان است. درصد جذب در جاذب کامپوزیت ۵ درصد در غلظت های اولیه ۲۰۰، ۱۲۰، ۸۰، ۴۰ گرم در لیتر و ۲۰ از نفت خام نسبت به جاذب فوم خالص به ترتیب  $4/5, 5/5, 9/5, 15/5$  و ۱۵ درصد افزایش یافت. مقایسه ظرفیت جاذب حاصل با ظرفیت جذب مربوط به انواع جاذب رایج برای حذف نفت خام سبک بیانگر ظرفیت خوب جاذب تهیه شده برای استفاده در مقیاس های بزرگ است (جدول ۳).

#### ۴-۳- بررسی راندمان جذب جاذب های فوم خالص و کامپوزیت

راندمان جذب، نسبت مقدار ماده مورد نظر برای جذب به کل مواد جذب شده به جاذب در طی فرایند جذب است. راندمان جذب یک جاذب یکی از مؤلفه های بسیار اساسی برای استفاده از جاذب ها است و دلیل آن افزایش بازده کلی فرایند جداسازی است. هرچه



شکل ۱- طیف FTIR فوم پلی یورتان

آمده است و می توان تمامی پیک های مربوط به این گروه های عاملی را در شکل ۱ مشاهده کرد.

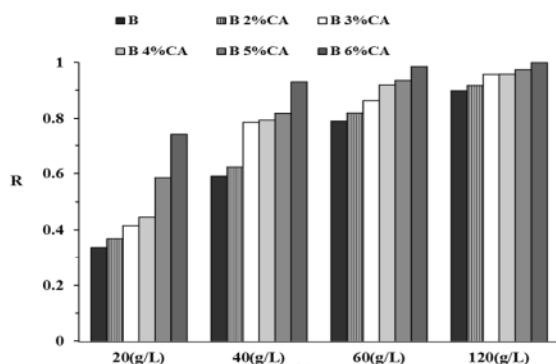
#### ۲-۳- نتایج عکس های میکروسکوپ نوری از جاذب های کامپوزیت

به منظور بررسی میزان پراکندگی و حضور کربن فعال در ساختار فوم پلی یورتان از میکروسکوپ نوری استفاده شد. برای بررسی میزان پراکندگی کربن فعال و نحوه قرارگیری آن در ساختار فوم پلی یورتان از بزرگ نمایی  $100\times$  برابر (شکل ۲). با توجه به شکل، کربن فعال در ساختار فوم پلی یورتان به صورت مناسب پخش شده است و تجمع کربن فعال در یک قسمت دیده نمی شود اما در درصد بالای حضور کربن فعال، کربن فعال با جذب پلی ال به خود موجب کاهش حجم سلول ها شده و سطح تماس را کاهش داده است.

#### ۳-۳- اثر مقادیر مختلف کربن فعال بر درصد جذب جاذب های کامپوزیت

مقادیر مختلف کربن فعال شامل ۲، ۳، ۴، ۵ و ۶ درصد جرمی در تشکیل جاذب های کامپوزیت استفاده شد و درصد و راندمان جذب توسط کامپوزیت های حاصله مورد بررسی قرار گرفت. برای این منظور آزمایش در غلظت های اولیه متفاوت شامل ۲۰، ۴۰، ۸۰ و ۱۲۰ گرم در لیتر از نفت خام شد. همان طور که در شکل ۳ مشخص است، افزایش درصد کربن فعال در ساختار فوم پلی یورتان تا ۵ درصد وزنی باعث افزایش میزان جذب شده است ولی در ۶ درصد وزنی از کربن فعال در ساختار فوم درصد جذب کاهش یافت که به دلیل بسته شدن سلول های ساختار جاذب کامپوزیت است. برای غلظت های پایین نفت خام تمامی جاذب های

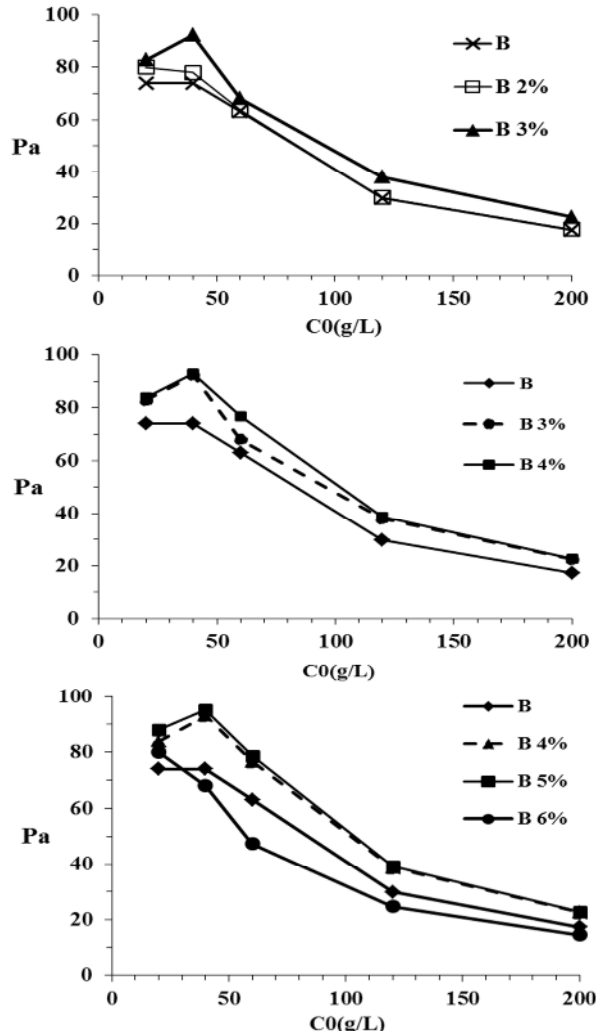
راندمان جذب یک جاذب بالاتر باشد، به دلیل این که تمام سطح و حجم خود را برای جذب ماده مورد نظر جذب استفاده می‌کند، ظرفیت جذب آن نیز بالاتر می‌رود. برای بررسی دقیق‌تر و قابل مقایسه نتایج، راندمان جذب جاذب‌های خالص و اصلاح شده در غلظت‌های اولیه مختلف نفت خام ( $C_0$ ) در شکل ۴ ارائه شده است. همان‌طور که در شکل مشخص است با افزایش درصد کربن فعال در ساختار جاذب‌های کامپوزیت، راندمان جذب جاذب‌ها افزایش می‌یابد. بیشترین تأثیر افزایش درصد کربن فعال در ساختار جاذب‌های کامپوزیت، در غلظت‌های پایین نفت خام بود زیرا در غلظت‌های بالای نفت خام امکان تماس جاذب‌ها با آب کمتر است. با مقایسه درصد جذب جاذب‌های خالص و کامپوزیت و راندمان جذب آنها می‌توان گفت که حضور کربن فعال در ساختار فوم پلی یورتان، باعث آب‌گیریزی ساختار جاذب‌های کامپوزیت شده است. برای بررسی تأثیر حضور کربن فعال بر روی راندمان جذب باید بر غلظت‌های پایین تمرکز کرد. نتایج نشان می‌دهد که در جاذب‌های کامپوزیت در غلظت اولیه نفت خام ۲۰ گرم در لیتر، حضور کربن فعال در ساختار فوم پلی یورتان در درصدهای ۳، ۲، ۵، ۶ و ۴ درصد جرمی توانسته به ترتیب به میزان ۹، ۲۳، ۷۳، ۳۹ و ۱۱۸ درصد راندمان را افزایش دهد.



شکل ۴- راندمان بازیافت جاذب‌های فوم خالص و کامپوزیت در غلظت اولیه متفاوت نفت خام، فوم خالص پلی یورتان (B). جاذب کامپوزیت با ۲ درصد کربن فعال (B 2%CA)، جاذب کامپوزیت با ۳ درصد کربن فعال (B 3%CA)، جاذب کامپوزیت با ۴ درصد کربن فعال (B 4%CA)، جاذب کامپوزیت با ۵ درصد کربن فعال (B 5%CA)، جاذب کامپوزیت با ۶ درصد کربن فعال (B 6%CA)

### ۵-۳- بررسی ایزوترم‌های جذب نفت خام به وسیله جاذب‌های کامپوزیت

نتایج داده‌های آزمایشگاهی جذب نفت خام توسط فوم‌های سلول نیمه بسته اصلاح ساختاری شده با کربن فعال، در مقادیر مختلف، ۲،



شکل ۳- درصد جذب جاذب‌های فوم خالص و کامپوزیت در غلظت اولیه متفاوت نفت خام (فوم خالص پلی یورتان (B)، جاذب کامپوزیت با ۲ درصد کربن فعال (B 2%), جاذب کامپوزیت با ۳ درصد کربن فعال (B 3%), جاذب کامپوزیت با ۴ درصد کربن فعال (B 4%), جاذب کامپوزیت با ۵ درصد کربن فعال (B 5%), جاذب کامپوزیت با ۶ درصد کربن فعال (B 6%) )

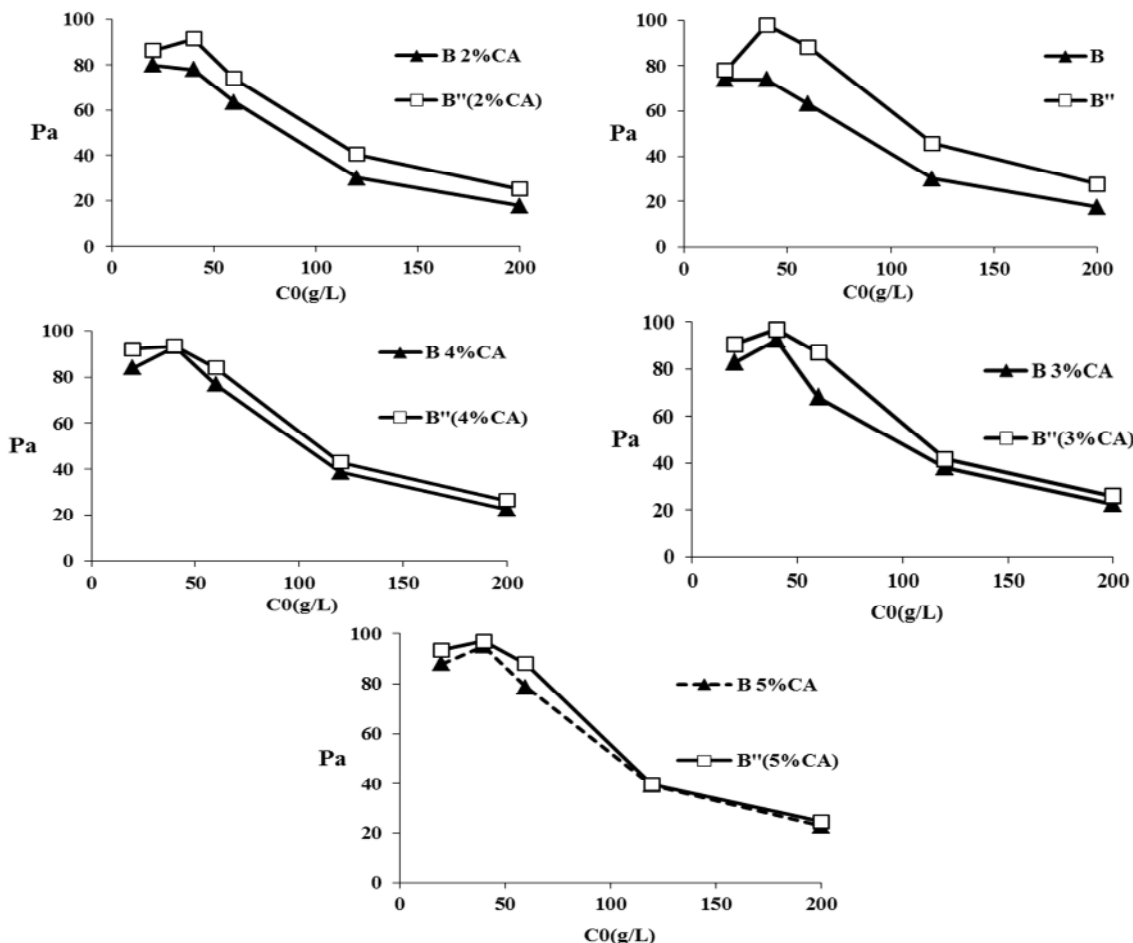
جدول ۳- مقایسه ظرفیت جذب نفت خام سبک مربوط به برخی از جاذب‌های متداول و مرتبط با این پژوهش

مرجع	ظرفیت جاذب (g/g)	جاذب
[۳۲]	۹	صفحات پلی استر
[۳۲]	۸	صفحات پلی بروپیلن
[۳۲]	۳	پر پرنده‌گان
[۳۲]	۳	فیبر چوب
[۳۲]	۳	خاک رس
[۳۲]	۸	پرلیت
این پژوهش	۹/۵	فوم خالص
این پژوهش	۱۱/۸	کامپوزیت ۵ درصد

### ۶-۳-احیای جاذب

بررسی توان یک جاذب برای استفاده مکرر در فرایند جداسازی یکی از مهم‌ترین مؤلفه‌های انتخاب جاذب برای یک فرایند جداسازی صنعتی است. برای استفاده مکرر از جاذب باید آن را احیا کرد که در این پژوهش از احیا به روش شیمیایی استفاده شد. در این روش، جاذب با مواد حلال نفتی تولوئن و پترولیوم اتر به طور کامل شسته و سپس در آون کاملاً خشک شد و برای آزمایش جذب مجدد مورد استفاده قرار گرفت. نتایج نشان می‌دهد که درصد جذب جاذب فوم خالص در جذب مجدد بیشتر شده که دلیل آن می‌تواند پوشش حلال نفتی به عنوان یک ماده نفت دوست بر روی سطح جاذب و نفت دوست تر کردن جاذب باشد. شکل ۵ اثر احیای جاذب بر درصد جذب توسط جاذب‌های فوم خالص و کامپوزیت را در غلظت‌های اولیه متفاوت نفت خام نشان می‌دهد. B جاذب فوم خالص سلول و "B" جاذب فوم خالص بعد از استفاده و احیا به روش

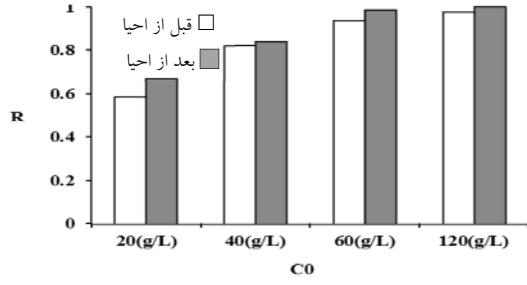
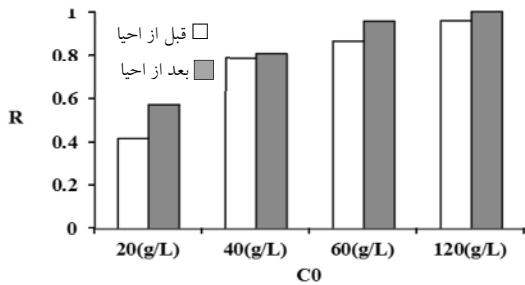
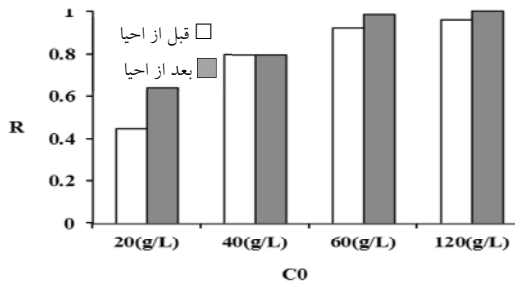
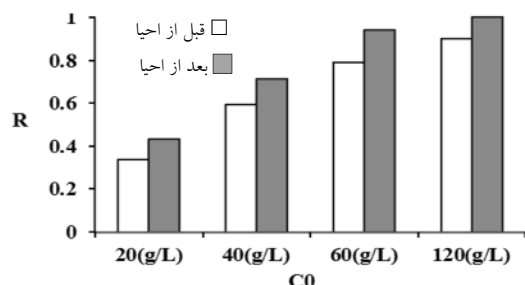
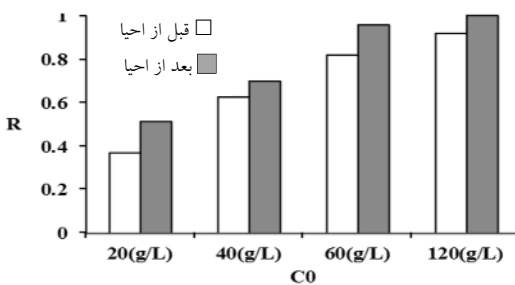
۶ درصد جرمی از کربن فعال با سه مدل ایزوترمی لانگمیر، فرون‌دلیچ و ردلیچ-پترسون مورد مطالعه قرار گرفت. ثابت‌های همدماهی جذب سه مدل در جدول ۴ ارائه شده است. با توجه به مقادیر  $R^2$  مربوط به مدل‌های ردلیچ-پترسون و لانگمیر، این مدل‌ها تطبیق خوبی با نتایج آزمایشگاهی داشته و فرایند جذب را بهتر پیش‌بینی می‌کنند. با توجه به مقدار پارامتر تعادل مربوط به مدل لانگمیر می‌توان گفت که مدل لانگمیر در غلظت‌های کم بهتر از غلظت‌های بالا می‌تواند فرایند جذب را پیش‌بینی کند. تطبیق هرچه بیشتر مدل‌های لانگمیر و ردلیچ-پترسون با هم در جاذب کامپوزیت ۶ درصد به دلیل بسته شدن بیشتر سلول‌های ساختار جاذب و کاهش تأثیر عواملی جانبی مانند فرایند موئینگی بر جذب نفت به غیر از جذب سطحی است. با توجه به سازگاری نتایج با مدل لانگمیر می‌توان گفت که جذب به صورت تک لایه‌ای و همگن صورت گرفته است.



شکل ۵- اثر احیای جاذب‌های فوم خالص و کامپوزیت در غلظت اولیه متفاوت نفت خام، فوم خالص پلی بورتان (B). جاذب کامپوزیت با ۲ درصد کربن فعال (B 2%CA)، جاذب کامپوزیت با ۳ درصد کربن فعال (B 3%CA)، جاذب کامپوزیت با ۴ درصد کربن فعال (B 4%CA)، جاذب کامپوزیت با ۵ درصد کربن فعال (B 5%CA)، و جاذب‌های احیا شده با علامت ("") بر درصد جذب

جدول ۴- ثابت‌های ایزوترم‌های جذب لانگمیر، فروندلیچ و ردلیچ- پترسون برای جذب نفت خام توسط جاذب‌های فوم خالص و کامپوزیت در ۲، ۳، ۴، ۵ و ۶ درصد جرمی از کربن فعال

جاذب‌ها						نوع ایزوترم و ضرایب
کامپوزیت ۶ درصد	کامپوزیت ۵ درصد	کامپوزیت ۴ درصد	کامپوزیت ۳ درصد	کامپوزیت ۲ درصد	فوم خالص	
لانگمیر						
۷/۲۵۲ ۰/۹۷ -۰/۰۵) (۰/۰۰۵ .۹۹۹۷	۱۰/۹۷۷ ۱/۶۳ (۰/۰۳-۰/۰۳۲) .۹۹۸۲	۱۰/۹۱۷ ۱۴/۷۷۴ (۰-۰/۰۰۳) .۹۹۷۹	۱۱/۳۵۱ ۰/۴۲۸ (۰/۰۱۲-۰/۱۰۵) .۹۹۹۵	۸/۷۰۳ ۲/۶۲۹ (۰/۰۰۲-۰/۰۲) .۹۹۹۱	۸/۶۶۵ ۱/۰۲۳ (۰/۰۰۵-۰/۴۶۶) .۹۹۹۰	$q_{\max}(g/g)$ $K_L(L/g)$ $R_L$ $R^2$
فروندلیچ						
۴/۱۸۱ ۸/۵۸۴ ۰/۶۱۲۸	۶/۵۸۲ ۸/۶۸۸ ۰/۳۹۲۲	۶/۰۳ ۷/۶۹۸ ۰/۴۰۹	۵/۵۶۶ ۶/۸۶۸ ۰/۴۹۰۴	۴/۷۰۵ ۷/۴۰۲ ۰/۴۷۴۶	۱/۶۷ ۶/۴۰۲ ۰/۵۱۲۸	$K_F(g/g)/(g/L)^n$ $n$ $R^2$
ردلیچ- پترسون						
۲/۳۵۶ ۰/۲۶۰ ۱/۰۴ .۹۹۹۹	۳/۹۵۴ ۰/۱۹۸ ۱/۱۱ .۹۹۹۸	۲/۷۱۷ ۰/۱۲۹ ۱/۱۲ .۹۹۹۷	۲/۶۹۳ ۰/۱۸۰ ۱/۰۵ .۹۹۹۶	۱/۸۹۳ ۰/۱۲۵ ۱/۱ .۹۹۹۸	۱/۶۲۵ ۰/۱۰۸ ۱/۱ .۹۹۹۷	$A(L/g)$ $B(L/g)^\beta$ $\beta$ $R^2$



شکل ۶- بررسی اثر احیای جاذب‌های فوم خالص(a) و کامپوزیت با مقادیر مختلف کربن فعال، ۲ درصد(b)، ۳ درصد(c)، ۴ درصد(d) و ۵ درصد(e) بر راندمان جذب

است. علت کاهش تماس جاذب‌ها با آب افزایش ضخامت لایه نفتی روی سطح آب است که این خود به دلیل یکسان بودن ظرف و مقدار آب در تمامی آزمایش‌های جذب است.

#### ۴- نتیجه‌گیری

نتایج نشان می‌دهد که درصد جذب در جاذب‌های کامپوزیت، با افزایش درصد کربن فعال در ساختار فوم پلی بورتان تا ۵ درصد جرمی در تمامی غلظت‌های اولیه نفت خام، افزایش یافت. با افزایش بیش از ۵ درصد جرمی کربن فعال در ساختار فوم پلی بورتان، درصد جذب کاهش یافت که این کاهش می‌تواند به دلیل بسته شدن تقریبی تمامی حفرات در ساختار جاذب باشد. با افزایش درصد کربن فعال در ساختار فوم پلی بورتان، راندمان جذب در یک غلظت اولیه مشخص نفت خام، بالاتر می‌رود. با توجه به نتایج بدست آمده می‌توان گفت که درصد بهینه حضور کربن فعال در ساختار فوم پلی بورتان برای جذب آلاینده‌های نفتی ۵ درصد جرمی است و بیشترین درصد جذب جاذب‌های کامپوزیت در غلظت اولیه ۴۰ گرم در لیتر از نفت خام است. نتایج نشان می‌دهند که احیای شیمیایی جاذب فوم خالص با حلال‌های نفتی، درصد جذب و راندمان جذب این جاذب را افزایش می‌دهد و همچنین احیای جاذب‌های کامپوزیت سبب افزایش راندمان و درصد جذب می‌شود.

شستشو با حلال‌های نفتی است. بیشترین افزایش درصد جذب جاذب فوم خالص احیا شده ۲۵/۲ درصد در غلظت اولیه ۶۰ گرم در لیتر است.

نتایج آزمایش‌ها نشان می‌دهد که احیای جاذب‌های کامپوزیت به روش استخراج با حلال باعث افزایش درصد جذب جاذب‌های کامپوزیت در تمامی درصد‌های کربن فعال موجود در ساختار فوم پلی بورتان و در تمامی غلظت‌های اولیه نفت خام شده است (شکل ۵). بیشترین تأثیر احیای جاذب‌های کامپوزیت در کامپوزیت ۲ درصد است و بیشترین میزان درصد جذب مربوط به جاذب کامپوزیت ۵ درصد در غلظت اولیه ۴۰ گرم در لیتر به میزان ۹۷ درصد است. نتایج آزمایش‌های جذب نشان می‌دهد که جاذب فوم خالص بعد از احیا (B') در غلظت‌های اولیه متفاوت نفت خام راندمان بیشتری نسبت به جاذب فوم خالص اولیه (B) از خود نشان می‌دهند (شکل ۶). علت این افزایش می‌تواند افزایش میزان نفت جذب شده و همچنین کاهش میزان آب جذب شده به علت پوشش سطح جاذب‌ها با حلال نفتی در طی فرایند احیا باشد. راندمان جذب جاذب‌های کامپوزیت بعد از احیا نیز بیشتر شده است (شکل ۶). این افزایش می‌تواند نتیجه دو عامل افزایش میزان جذب نفت و کاهش میزان جذب آب باشد. اثر احیای شیمیایی جاذب‌های فوم خالص و کامپوزیت بر راندمان جذب در غلظت‌های کم، بیشتر است. بیشترین راندمان برای تمامی جاذب‌ها در غلظت‌های بالای نفت است که این موضوع به علت کاهش تماس جاذب‌ها با آب

#### ۵- مراجع

1. Zhou, Y-B., Tang, X-Y., Hu, X-M., Fritschi, S., and Lu, J. (2008) "Emulsified oily wastewater treatment using a hybrid-modified resin and activated carbon system." *Separation and Purification Technology*, 63, 400-406.
2. Wang, D., Silbaugh, T., Pfeffer, R., and Lin, Y.S. (2010) "Removal of emulsified oil from water by inverse fluidization of hydrophobic aerogels." *Powder Technology*, 203, 298-309.
3. Clark, R.B. (1997). *Marine pollution*, Avaye Ghalam Pub., Tehran. (In Persian)
4. Ijah, U.J.J. (1998) "Studies on relative capabilities of bacterial and yeast isolates from tropical soil in degrading crude oil." *Waste Management*, 18, 293-299.
5. Li, Y.S., Yan, L., Xiang, C.B., and Hong, L.J. (2006). "Treatment of oily wastewater by organic-inorganic composite tubular ultrafiltration (UF) membranes." *Desalination*, 196, 76-83.
6. Al-Jeshi, S., and Neville, A. (2008). "An experimental evaluation of reverse osmosis membrane performance in oily water." *Desalination*, 228, 287-294.
7. López-Vazquez, C., and Fall, C. (2004). Improvement of a gravity oil separator using a designed experiment." *Water, Air, and Soil Pollution*, 157 (1-4), 33-52.
8. Li, X-B., Liu J-T., Wang, Y-T. Wang C-Y., and Zhou, X-H. (2007). "Separation of oil from wastewater by column flotation." *J. of China University of Mining and Technology*, 17, 546-577.
9. Zouboulis, A.I., and Avranas, A. (2000). "Treatment of oil-in-water emulsions by coagulation and dissolved-air flotation." *Colloids and Surfaces A: Physicochemical and Engineering Aspects*, 172, 153-161.
10. Carmody, O., Frost, R., Xi, Y., and Kokot, S. (2008). "Selected adsorbent materials for oil-spill cleanup." *J. of Thermal Analysis and Calorimetry*, 91, 809-816.

11. Brandão, P.C., Souza, T.C., Ferreira, C.A., Hori C.E., and Romanielo, L.L. (2010). "Removal of petroleum hydrocarbons from aqueous solution using sugarcane bagasse as adsorbent." *J. of Hazardous Materials*, 175, 1106-1112.
12. Sun, X-F., SunSun, and Sun J-X. (2002) "Acetylation of rice straw with or without catalysts and its characterization as a natural sorbent in oil spill cleanup." *J. of Agricultural and Food Chemistry*, 50, 6428-6433.
13. Adebajo, M.O., Frost, R.L., Kloprogge, J.T., Carmody, O., and Kokot, S. (2003). "Porous materials for oil spill cleanup: A review of synthesis and absorbing properties." *J. of Porous Materials*, 10, 159-170.
14. Annuciado, T.R., Sydenstricker, T.H.D., and Amico, S.C. (2005). "Experimental investigation of various vegetable fibers as sorbent materials for oil spills." *Marine Pollution Bulletin*, 50, 1340-1346.
15. Choi, H.M., and Cloud, R.M. (1992). "Natural sorbents in oil spill cleanup." *Environmental Science and Technology*, 26, 772-776.
16. Bastani, D., Safekordi, A.A., Alihosseini, A., and Taghikhani, V. (2006). "Study of oil sorption by expanded perlite at 298.15°C." *Separation and Purification Technology*, 52, 295-300.
17. Moazed, H., and Viraraghavan, T. (2005). "Use of organo-clay/anthracite mixture in the separation of oil from oily waters." *Energy Sources*, 27, 101-112.
18. Meininghaus, C.K.W., and Prins, R. (2000). "Sorption of volatile organic compounds on hydrophobic zeolites." *Microporous and Mesoporous Materials*, 35-36, 349-365.
19. Okiel, K., El-Sayed, M., and El-Kady, M.Y. (2011). "Treatment of oil-water emulsions by adsorption onto activated carbon, bentonite and deposited carbon." *Egyptian Journal of Petroleum*, 20, 9-15.
20. Li, H., Liu, L., and Yang F. (2012). "Hydrophobic modification of polyurethane foam for oil spill cleanup." *Marine Pollution Bulletin*, 64, 1648-1653.
21. Wu, D., Fang, L., Qin, Y., Wu, W., Mao, C. h., and Zhu, H. (2014). "Oil sorbents with high sorption capacity, oil/water selectivity and reusability for oil spill cleanup." *Marine Pollution Bulletin*, 84, 263-267.
22. Kenes, K., Yerdos, O., Zulkhair, M., and Yerlan, D. (2012). "Study on the effectiveness of thermally treated rice husks for petroleum adsorption." *J. of Non-Crystalline Solids*, 358, 2964-2969.
23. Fakhru'l-Razi, A., Pendashteh, A., Abdullah, L.C., Biak, D.R.A., Madaeni, S.S., and Zainal Abidin, Z. (2009). "Review of technologies for oil and gas produced water treatment." *J. of Hazardous Materials*, 170, 530-551.
24. Barikani, M. (2005). *Rigid polyurethane foams*, Polymer Society of Iran Publication, Tehran.
25. Nikkhah, A.A., Zilouei, H., Asadinezhad, A., and Keshavarz A. (2015). "Removal of oil from water using polyurethane foam modified with nanoclay." *Chemical Engineering Journal*, 262, 278-285.
26. Crini, G., and Badot, P-M. (2008). "Application of chitosan, a natural aminopolysaccharide, for dye removal from aqueous solutions by adsorption processes using batch studies: A review of recent literature." *Progress in Polymer Science*, 33, 399-447.
27. Foo, K.Y., and Hameed, B.H. (2010). "Insights into the modeling of adsorption isotherm systems." *Chemical Engineering Journal*, 156, 2-10.
28. Kumar, K.V., Valenzuela-Calahorro, C., Juarez, J.M., Molina-Sabio, M., Silvestre-Albero, J., and Rodriguez-Reinoso, F. (2010). "Hybrid isotherms for adsorption and capillary condensation of N<sub>2</sub> at 77°C on porous and non-porous materials." *Chemical Engineering Journal*, 162, 424-429.
29. Dávila-Jiménez, M.M., Elizalde-González, M.P., and Peláez-Cid, A.A. (2005). "Adsorption interaction between natural adsorbents and textile dyes in aqueous solution." *Colloids and Surfaces A: Physicochemical and Engineering Aspects*, 254, 107-114.
30. Moussavi, A., Asadi, H., and Esfandbod, M. (2010). "Ion exchange efficiency of nitrate removal from water 1-equilibrium sorption isotherms for nitrate on resin purolite A-400." *J. of Water and Soil Science*, 20/1, 185-200.
31. Wu, F-C., Liu, B-L., Wu, K-T., and Tseng, R-L. (2010). "A new linear form analysis of Redlich-Peterson isotherm equation for the adsorptions of dyes." *Chemical Engineering Journal*, 162, 21-27.
32. Srinivasan, A., and Viraraghavan, T. (2010). "Oil removal from water using biomaterials." *Bioresource Technology*, 101, 6594-6600.